

- [9] Заречкий В. В., Шелег А. У. ФТТ, 1986, т. 28, № 1, с. 63—71.
[10] Аллахвердиев К. Р., Бабаев С. С., Бахышов Н. А., Мамедов Т. Г. ФТТ, 1985,
т. 27, № 12, с. 3699—3701.

Институт физики АН АзССР
Баку

Поступило в Редакцию
29 апреля 1987 г.
В окончательной редакции
20 июля 1987 г.

УДК 537.611.44

Физика твердого тела, том 30, в. 2, 1988
Solid State Physics, vol. 30, № 2, 1988

МАГНИТНЫЙ ФАЗОВЫЙ ПЕРЕХОД, ВЫЗВАННЫЙ ДАВЛЕНИЕМ, ВО ФТОРОСИЛИКАТЕ МАРГАНЦА

В. П. Дьяконов, Э. Е. Зубов, И. М. Фита

В низкотемпературном магнетике фторосиликате марганца величины обменного, дипольного и одноионного взаимодействий сравнимы. В подобных объектах с помощью метода высокого давления, воздействующего как на межионные взаимодействия, так и на кристаллическое поле, можно весьма эффективно изменять соотношение взаимодействий, определяющее магнитное состояние кристалла.

Двухкомплексное соединение $[\text{Mn}(\text{H}_2\text{O})_6][\text{SiF}_6]$ кристаллизуется в структуре типа CsCl. Основное состояние $\text{Mn}^{2+}-^6S$ ($s=5/2$) расщеплено совместным действием спин-орбитального взаимодействия и кристаллического поля на три крамерсовых дублета, отстоящие на величины $2D$ и $4D$, где $D = -18.7$ мК, т. е. нижний уровень $m = \pm 5/2$ [1]. Известна убывающая зависимость D от давления для Mn^{2+} в $\text{ZnSiF}_6 \cdot 6\text{H}_2\text{O}$ [2]. Установлено [1], что ниже $T_N = 0.15$ К в $\text{MnSiF}_6 \cdot 6\text{H}_2\text{O}$ имеет место антиферромагнитное (АФМ) упорядочение вдоль гексагональной оси кристалла со слабым ферромагнитным (ФМ) моментом в базисной плоскости (подрешетки отклонены от оси на угол $\sim 1^\circ$), происхождение которого видимо связано с структурным переходом $P\bar{3}m1 \leftrightarrow P21/C$ при $T = 230$ К [3].

В работе экспериментально изучено влияние гидростатического давления на температуру и характер магнитного упорядочения в $\text{MnSiF}_6 \cdot 6\text{H}_2\text{O}$. Измерения магнитной восприимчивости проведены в рефрижераторе $^3\text{He}-^4\text{He}$ в области температур 4.2 ± 0.05 К в полях до 3 кЭ при фиксированных давлениях P до 8 кбар. Восприимчивость χ измерялась индукционным методом (в эксперименте значения параметров переменного поля h выбирались в пределах $h_0 = 0.3-3$ Э, $f = 30-300$ Гц) на двух цилиндрических образцах ($4\pi N = 0.5$), вырезанных вдоль и перпендикулярно гексагональной оси (ось c). Давление создавалось в контейнере из бериллиевой бронзы и измерялось при гелиевых температурах.

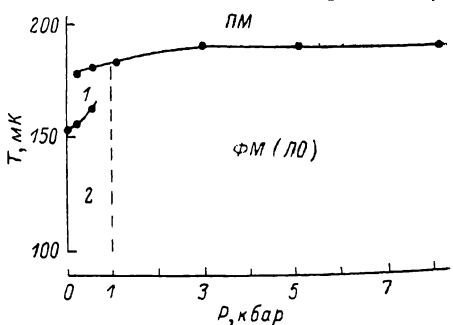
Данные $\chi(T, H=0)$ и $\chi(H, T=\text{const})$ при $P=0$ показывают АФМ упорядочение ниже $T_N = 153$ мК. Намагничивание вдоль оси c носит метамагнитный характер (спин-флоп фаза не реализуется; $H_c(T=0) = -660$ Э), обусловленный сильной одноионной анизотропией типа легкая ось. С увеличением P магнитные свойства $\text{MnSiF}_6 \cdot 6\text{H}_2\text{O}$ резко изменяются. Восприимчивость вдоль c быстро возрастает и при $P \geq 1.1$ кбар достигает величины $1/4\pi N$ при $T \leq T_c(P)$, что свидетельствует о ФМ характере упорядочения (в области $1.1 \leq P \leq 8$ кбар максимальные значения χ_c совпадают с точностью 0.5 %). При этих давлениях намагниченность вдоль c близка к насыщению в полях $\sim 4\pi Nm$ (~ 80 Э при $T=0$). Зависимость поля анизотропии H_A от P , полученная из данных $\chi_c(H)$, ка-

чественно согласуется с данными D (P) [2], т. е. $g\mu_B H_A \approx 2|D| (s=1/2)$ — анизотропия преимущественно одноионная. Таким образом, в $\text{MnSiF}_6 \cdot 6\text{H}_2\text{O}$ давление индуцирует магнитный фазовый переход из АФМ в ФМ состояния (направление легкой оси сохраняется).

При давлениях 0.1 и 0.6 кбар в области упорядочения восприимчивость $\chi (T, H=0)$ и намагниченность $M_{\parallel} (H)$ имеют особенности, характерные как для ФМ, так и для АФМ состояния. Причиной этого могут быть кристаллические домены фаз различной симметрии, имеющие место в группе $\text{MeSiF}_6 \cdot 6\text{H}_2\text{O}$ вблизи структурного перехода (эти переходы обычно связаны с разориентацией водных октаэдров, при этом скачки объема очень малы и ионы Me остаются в узлах почти кубической решетки). По-видимому, при $P < 1$ кбар в кристалле присутствует структурная фаза высокого давления, отвечающая ферромагнетизму, причем температуры магнитного упорядочения каждой из структурных фаз различны.

Магнитная фазовая $T-P$ -диаграмма фотосиликата марганца.

1, 2 — двухфазные области ПМ+ФМ и АФМ+ФМ соответственно. Штриховая линия разделяет двухфазную область и ФМ фазу.



С большой вероятностью переход АФМ \leftrightarrow ФМ, реализующийся через двухфазную область, обусловлен структурным переходом.

По результатам измерений восприимчивости и намагниченности под давлением построена фазовая $T-P$ -диаграмма (см. рисунок).

При высоких температурах ($0.7 \div 4.2$ К) при всех давлениях восприимчивость следует закону Кюри—Вейсса. В районе ~ 1 кбар наблюдается резкий рост параметра Кюри Θ_{\parallel} .

Экспериментальные результаты анализируются в модели, учитывающей лишь изотропные части обмена и дипольного взаимодействия и одноионную анизотропию. В приближении молекулярного поля методом спинового гамильтониана рассчитаны восприимчивость и температура магнитного упорядочения. На основании теории из данных Θ_{\parallel} , $H_c (D)$ и D для $P=0$ рассчитаны J_1 и J_2 (меж- и внутриподрешеточный обмен), а также T_N . Для давлений $P \geq 1.1$ кбар (ФМ состояние), используя данные $\Theta_{\parallel} (P)$ и $D (P)$, рассчитаны эффективный обмен J (содержащий также и дипольный вклад) и температура Кюри T_c . Данные эксперимента и расчетов собраны в таблицу. Расчетные значения T_N и T_c для $P=0$ и $P=3$; 5 кбар на $20 \div 30$ % выше экспериментальных, что является обычным результатом теории молекулярного поля. Подобные оценки, сделанные для двухфазной области, не дают хорошего согласия — модель не отражает наблюдаемую здесь сложную магнитную структуру. Для выяснения

Температура магнитного упорядочения (T_N или T_c),
парамагнитная температура Θ_{\parallel} , параметры одноионной
анизотропии и обменного взаимодействия J для фотосиликата
марганца при различных давлениях

P , кбар	Температура магнитного упорядочения, мК		Θ_{\parallel} , мК	D , мК	J , мК
	эксперимент	расчет			
0	$T_N = 153$	226	-30	-18.7	$J_1 = -52.8$ $J_2 = +12.9$
1.1	$T_c = 183$	183	+175	-17.7	+52.2
3	$T_c = 190$	245	+235	-16.2	+73.8
5	$T_c = 192$	229	+218	-14.7	+71.2

природы и особенностей магнитного фазового перехода под давлением во фторосиликate марганца необходимы тщательные структурные исследования.

Авторы выражают благодарность И. М. Витебскому за обсуждение работы и ценные замечания.

Л и т е р а т у р а

- [1] Ohtsubo A. J. Phys. Soc. Japan, 1965, vol. 20, N 1, p. 82—88.
- [2] Лукин С. Н., Цинцадзе Г. А. ФТТ, 1975, т. 17, № 6, с. 1872—1874.
- [3] Jehanno G., Varret F. Acta Cryst., 1975, vol. A31, part 6, p. 857—858.

Донецкий физико-технический институт
АН УССР
Донецк

Поступило в Редакцию
23 июля 1987 г.

УДК 539.292

Физика твердого тела, том 30, в. 2, 1988
Solid State Physics, vol. 30, № 2, 1988

О МЕХАНИЗМЕ МЕЖЗЕРЕННОЙ ПРОВОДИМОСТИ ВЫСОКОТЕМПЕРАТУРНОЙ СВЕРХПРОВОДЯЩЕЙ КЕРАМИКИ

B. M. Свистунов, Ю. Ф. Ревенко, О. В. Григуть,
B. Ю. Таренков

Новый класс высокотемпературных сверхпроводящих металлооксидов $(L_{1-x}M_x)_2CuO_4$. (L —Y, R3; M —Ba, Sr) представляет собой крупнозернистые многофазные композиты, в которых помимо сверхпроводящей присутствуют и нормальные фазы [1, 2]. От их соотношения сильно зависят многие физические свойства. Как в любом гранулярном сверхпроводнике, транспортные характеристики металлооксидов определяются связью между гранулами, тип которой и сила обусловлены структурой металла.

Работа посвящена исследованию электрических свойств межзеренных связей в новых сверхпроводниках при различных внешних воздействиях—температуры T , магнитного поля H и электромагнитного облучения P .

Эксперименты проведены на $Y_{1.2}Ba_{0.8}CuO_4$ -керамике, приготовленной по методу твердофазной реакции из порошков Y_2O_3 , $BaCO_3$ и CuO [2]. С целью получения детальной информации о механизмах проводимости режим синтеза был выбран таким, чтобы образцы имели широкую $R(T)$ - зависимость сверхпроводящего перехода. Это позволило выделить на ней флуктуационную область, переход зерен в сверхпроводящее состояние и их ансамблей, начало процесса статической синхронизации фазы параметра порядка по межзеренным связям.

Для их наблюдения использовалась модуляционная методика записей динамического сопротивления $dU/dI(U, I)|_{t, H, P_f}$ образцов, предложенная в [3]. Измерения проводились на пластинах размером $\sim 8 \times 1 \times 1.5$ мм, вырезанных из синтезированных таблеток. В качестве контактов использовалось вожжено из пасты серебро. Эксперименты выполнялись в криостате с газообразной теплообменной средой. Влияние электромагнитного поля изучалось на частоте $f=2\text{Гц}$ в устройстве, описанном в [4]. Результаты (рис. 1) представлены для образца $Y-Ba-Cu-O$, имеющего следующие параметры: $T_c(R/2)=75$ К, $T_c(R=0)=45$ К, $\delta T_c=50$ К, $\rho_{300K}=1.1 \cdot 10^{-1}$ Ом·см, $R_{300}/R_{100K}=0.85$ (слабый полупроводниковый ход).